

ارزیابی توابع مختلف TIMESAT در بازسازی روند فنولوژی پوشش گیاهی

مطالعه موردي: شهرستان خرم آباد

لیلا کرامی^۱

علی اصغر تراهی^۲

تاریخ دریافت مقاله: ۱۴۰۰/۱۰/۰۷

تاریخ پذیرش مقاله: ۱۴۰۰/۱۲/۱۱

چکیده

مطالعه روند رشد پوشش گیاهی به طور ویژه‌ای برای تحقیقات محیط زیستی مهم است. برآورد پارامترهای فنولوژی پوشش گیاهی به داده‌های زمانی پیوسته NDVI در یک بازه زمانی نیاز دارد. ممکن است در برخی موارد رطوبت خاک، وجود ابر و ذرات معلق بر اثری بازنگاری اثربخش گیاهی اثر بگذارد و منجر به ایجاد تصاویری با داده‌های از دست رفته یا دارای خطای شود. در این مطالعه از چهار مزرعه گندم واقع در بخش‌های مختلف شهرستان خرم‌آباد، برای بررسی رفتار فنولوژی گیاه و استخراج پارامترهای فنولوژی استفاده شد. به این منظور برای از بین بردن این خطاها در سری زمانی NDVI از مدل TIMESAT استفاده شد. سه تابع مختلف برای از بین بردن نویزها و هموارسازی داده‌ها در مدل TIMESAT وجود دارد. هدف از این تحقیق بررسی عملکرد توابع گاوین نامتقارن، لجستیک دوگانه و فیلتر انطباقی ساویتزکی-گولاوی در استخراج پارامترهای فنولوژیکی خصوصاً در مناطق کوهستانی است. در ابتدا شاخص NDVI با استفاده از داده‌های روزانه سنجنده MODIS برای سال ۲۰۲۰ در سامانه گوگل ارث انجین محاسبه شد. پس از برطرف کردن خطاها موجود در سری زمانی TIMESAT3.3 NDVI، از مدل TIMESAT به منظور تولید منحنی فنولوژی گیاه گندم در مزارع گرمسیر و سردسیر در نرم‌افزار استفاده شد. از توابع گاوین نامتقارن، لجستیک دوگانه و فیلتر ساویتزکی-گولاوی برای بازسازی داده‌های NDVI استفاده شد. طبق نتایج به دست آمده فیلتر هموارسازی ساویتزکی-گولاوی به طور میانگین RMSE برابر ۲ دارد. ولی میانگین RMSE توابع گاوین نامتقارن و لجستیک دوگانه به ترتیب ۴ و ۱۱ است. در نتیجه فیلتر ساویتزکی-گولاوی در بازسازی داده‌ها و برآورد پارامترهای شروع و پایان فصل رشد دارای صحت بالاتری است.

واژه‌های کلیدی: فنولوژی، سری زمانی، پوشش گیاهی، مدل NDVI، مدل TIMESAT

۱- دانشجوی کارشناسی ارشد سنجش از دور و سیستم اطلاعات جغرافیایی، دانشکده علوم جغرافیایی، دانشگاه خوارزمی تهران leylakarami 1995@gmail.com

۲- استادیار سنجش از دور و سیستم اطلاعات جغرافیایی، دانشکده علوم جغرافیایی، دانشگاه خوارزمی تهران (نویسنده مسئول) tavakkoli@khu.ac.ir

۳- استادیار سنجش از دور و سیستم اطلاعات جغرافیایی، دانشکده علوم جغرافیایی، دانشگاه خوارزمی تهران atorahi@khu.ac.ir

پایش تغییرات پوشش گیاهی در طول زمان، کاربردهای فراوانی دارد (Blaes et al, 2016). تجزیه و تحلیل داده‌های سری زمانی NDVI به شکل قابل توجهی برای تحقیقات محیط زیستی که در ارتباط با پویایی محیط زیست، تغییر آب و هوا، پویایی پوشش گیاهی، تغییر پوشش زمین و توزیع گونه‌های جانوری هستند با اهمیت است (Cao, Chen, et al, 2018) (Geng et al, 2014). سری‌های زمانی NDVI برای آشکارسازی پارامترهای فنولوژی سطح زمین استفاده می‌شود. فنولوژی شاخه‌ای از علم است که روابط بین وقایع دوره‌ای بیولوژیکی مربوط به چرخه زندگی گیاهان و حیوانات و تغییرات محیط را مطالعه می‌کند (Denny et al, 2010). فنولوژی گیاهی و اثرات محیط زیستی آن در تغییرات اقلیم در سطح جهان اهمیت بالایی دارد و به همین علت مورد توجه است. پوشش گیاهی در طول زمان دارای یک چرخه فنولوژیکی است. پارامترهای فنولوژیکی شامل زمان شروع رشد، اوچ پوشش گیاهی، طول بازه رشد و زمان پایان رشد هستند. پارامترهای فنولوژیکی اطلاعات مفید و مهمی در مورد وضعیت پوشش گیاهی می‌دهند (Rousta et al, 2020) (Cao, Shen, et al, 2018). آفات خشکسالی (Wu et al, 2020)، بیماری‌های گیاهی، تقویم و نوع کشت (Yang et al, 2021) بر پارامترهای فنولوژیکی پوشش گیاهی تأثیر می‌گذارند. از این‌رو، برای برنامه‌ریزی مدیریتی منابع طبیعی، کشاورزی، آب و غیره لازم است روند فنولوژیکی پوشش گیاهی به نحو مطلوب استخراج شود (Hosseini and Ghafarian Malamiri, 2017).

بنابراین استخراج پارامترهای فنولوژی از سری زمانی داده‌های سنجش از دور یک تکنیک مهم و مؤثر بر پویایی پوشش گیاهی است. برای استخراج پارامترهای فنولوژی به داده‌های زمانی پیوسته، بدون خطأ و جافتادگی² نیاز است. علاوه بر این، پیوستگی زمانی و مکانی داده‌های سنجش از دور به عنوان مثال سری زمانی NDVI به دلیل عواملی همچون وجود ابر، ذرات معلق و رطوبت پس زمینه به طور

۱- مقدمه

پوشش گیاهی طبیعی یکی از عناصر اصلی اکوسیستم زمین می‌باشد. شناخت ویژگی‌های پوشش گیاهی و نیز عوامل محیطی همواره مورد توجه بوده است (Magee Ringold and Bollman 2008; Hoersch et al, 2002) (Lu et al, 2004). دلیل این توجه، اهمیت پوشش گیاهی به عنوان تنها تولیدکنندگان اکوسیستم‌های زمین از نظر زیستگاهی، تولید انرژی و وابستگی زندگی انسان‌ها به گیاهان است. کسب اطلاعات درباره پوشش گیاهی همچون میزان تاج پوشش و پراکنش آن‌ها، از اهمیت زیادی برخوردار است. در سال‌های اخیر، سنجش از دور به دلیل مزایایی همچون پوشش وسیع، امکان برداشت داده با فاصله زمانی منظم، هزینه کمتر نسبت به برداشت زمینی، بهبود توان تفکیک مکانی برای شناسایی پدیده‌ها در مناطق مختلف و قابل دسترس بودن، همواره به عنوان یکی از مهم‌ترین منابع جمع‌آوری اطلاعات مکانی قابل توجه بوده است (Hoersch et al, 2002). داده‌های ماهواره‌های سنجش از دور مشاهدات بزرگ و مستمری را ارائه می‌دهد که تغییرات ایجاد شده بر روی زمین را مشخص می‌کند (Coppin et al, 2004) به طور کلی سیستم‌های سنجش از دور قابلیت‌های بسیار مناسبی برای بررسی روند تحولات پوشش گیاهی را دارا می‌باشد. سیستم‌های سنجش از دوری این امکان را می‌دهد که در مناطقی که به دلایلی همچون کوهستانی بودن، دره‌های عمیق و نظایر آن امکان بررسی میدانی وجود ندارد، راه را برای مطالعه در این مناطق و در سطح گستردۀ تسهیل کند. شاخص‌های گیاهی از پرکاربردترین محاسبات باندی در حوزه سنجش از دور هستند که با هدف بررسی و محاسبه درصد پوشش گیاهی، انواع پوشش گیاهی و درجه سبزینگی یک ناحیه در سال‌های مختلف به کار می‌روند. تاکنون شاخص‌های مختلفی بر اساس سبزینگی و پارامترهای بیوفیزیکی ارائه شده است. شاخص تفاضل نرمال‌شده پوشش گیاهی (NDVI)¹ یکی از شناخته شده‌ترین و پرکاربردترین شاخص‌های طیفی است که در زمینه مطالعه

فصلنامه علمی - پژوهشی اطلاعات جغرافیایی (جغرافیا)

ارزیابی توابع مختلف TIMESAT در بازسازی روند فنولوژی پوشش گیاهی ... / ۱۳۷

جين چنا و همکاران در سال ۲۰۰۴ بازسازی داده‌های سری زمانی را براساس فیلتر انطباقی ساویتزکی-گولای در مدل TIMESAT انجام داده‌اند. در این مطالعه نشان دادند که اجرای این روش نسبت به روش فوریه و الگوریتم استخراج بهترین شب (BISE)¹ زمان کمتری نیاز دارد و در به‌دست آوردن سری‌های زمانی NDVI با کیفیت بالا مؤثرتر است (Chen et al, 2004).

بک و همکاران در سال ۲۰۰۶ در پژوهشی با استفاده از داده‌های NDVI از سال ۲۰۰۰ تا ۲۰۰۴ نشان دادند تابع لجستیک دوگانه داده‌ها را بهتر از روش فوریه بازسازی می‌کند و علاوه بر این داده‌های پرت را بهتر شناسایی می‌کند (Beck et al, 2006).

تسنا و همکاران در پژوهشی در سال ۲۰۱۴ قابلیت مدل TIMESAT را در سری زمانی اصلاح‌شده و اصلاح‌نشده مورد بررسی قرار داده‌اند که از تابع لجستیک دوگانه در مدل TIMESAT برای اصلاح سری زمانی استفاده شده است. طبق نتایج به‌دست آمده در سری زمانی اصلاح شده با مدل TIMESAT، تغییرات قابل ملاحظه‌ای در مقادیر NDVI ایجاد شده است و تابع لجستیک دوگانه عملکرد خوبی در زمینه کاهش نویز و بازسازی داده‌ها داشته است (Testa, Mondino, and Pedroli, 2014).

لارا و همکاران در سال ۲۰۱۶ عملکرد توابع مختلف مدل TIMESAT و تأثیر آن‌ها را بر ویژگی‌های فنولوژیکی مورد بررسی قرار داده و نشان دادند فیلتر ساویتزکی-گولای نسبت به روش تابع گاوین نامتقارن و لجستیک دوگانه عملکرد بهتری در بازسازی سری زمانی دارد و هر سه روش برای تخمین پارامترهای فنولوژیکی مناسب هستند (Lara and Gandini, 2016).

کای و همکاران در سال ۲۰۱۷ با استفاده از داده‌های مادیس پژوهشی را با هدف بررسی عملکرد پنج روش هموارسازی برای بازسازی سری زمانی NDVI و تخمین فنولوژی گیاه انجام داده‌اند. نتایج نشان داد که روش

چشمگیری دستخوش تغییراتی می‌شوند که این تغییرات سبب کاهش کیفیت داده‌ها می‌شود (Julien and Sobrino, 2010). برای دستیابی به سری زمانی پیوسته، می‌بایست داده‌های دارای خط‌شناسایی و اصلاح شوند. از داده به صورت خام (NDVI اصلاح‌شده) نمی‌توان پارامترهای مختلف فنولوژی را استخراج کرد چون ممکن است دارای خط‌باشد و این خط‌ها از روند فنولوژیکی تبعیت نمی‌کنند و نتایج دقیقی نمی‌توان استخراج کرد، در نتیجه به توابعی برای هموارسازی نیاز است. یکی از مدل‌های تحلیل سری زمانی که بر مبنای به کارگیری شاخص‌های پوشش گیاهی سنجش از دوری نظیر NDVI استفاده می‌شود، مدل TIMESAT است. مدل TIMESAT برای بازسازی داده‌های ازدست رفته و تجزیه و تحلیل در سری‌های زمانی توسط لارس اکلوند و پر جونسون در دانشگاه لوند سوئد توسعه داده شده است. این الگوریتم شامل چند تابع مختلف می‌باشد، تابع گاوین نامتقارن¹ (Jonsson and Eklundh, 2002)، تابع لجستیک دوگانه² (X. Zhang et al, 2003) (Beck et al. 2006) و فیلتر انطباقی ساویتزکی-گولای³ (Chen et al, 2004) (Savitzky and Golay, 1964) که این توابع برای هموارسازی و شناسایی داده‌های پرت استفاده می‌شوند (Eklundh and Jönsson, 2012). هر کدام از این روش‌ها کارایی و قابلیت‌های متفاوتی دارند که می‌تواند منجر به حصول نتایج مختلف شود. بنابراین لازم است توابع مختلف مدل TIMESAT مورد مقایسه و ارزیابی قرار گیرد تا دقت آن‌ها در تولید سری زمانی پیوسته مشخص شود.

برخی مطالعات به ارزیابی توابع هموارسازی گاوین نامتقارن، لجستیک دوگانه و فیلتر انطباقی ساویتزکی-گولای در مدل TIMESAT برای حذف مشاهدات دارای خط‌باشد و داده‌های پرت در سری زمانی و همچنین بازسازی داده‌های سری زمانی و استخراج پارامترهای فنولوژیکی پرداخته‌اند که در ادامه به تعدادی از آن‌ها اشاره شده است.

1-Asymmetric Gaussian

2- Double Logistic

3-Savitzky-Golay

تابع گاووسین نامتقارن و لجستیک دوگانه نسبت به روش‌های ساویتزکی-گولای، روش هموارسازی باریک^۱ و هموارسازی پراکندگی محلی^۲ عملکرد دقیق‌تری را در بازسازی داده‌ها نشان می‌دهد (Cai et al, 2017). مو و همکاران در سال ۲۰۱۹ از تابع گاووسین نامتقارن، لجستیک دوگانه و فیلتر انطباقی ساویتزکی-گولای برای ساخت منحنی سری زمانی و استخراج پارامترهای فنولوژی شروع و پایان فصل در منطقه شمال و جنوب آسیای شرقی استفاده کرده‌اند. نتایج نشان داد که مدل گاووسین نامتقارن نسبت به دو روش دیگر در این منطقه عملکرد بهتری داشته است (Mo et al, 2019).

۲- مواد و روش‌ها

۲-۱- منطقه مورد مطالعه

استان لرستان با مساحت ۲۹۴۲۸ کیلومترمربع در ناحیه جنوب‌غربی ایران بین مختصات جغرافیایی ۴۶ درجه و ۵۰ دقیقه تا ۵۰ درجه و ۱ دقیقه طول شرقی و ۳۲ درجه و ۴۰ دقیقه تا ۳۴ درجه و ۲۳ دقیقه عرض شمالی از خط استوا قرار گرفته است (نگاره ۱).

میانگین ارتفاع آن بیش از ۲۲۰۰ متر از سطح دریا است. خرم‌آباد مرکز شهرستان خرم‌آباد و استان لرستان است. این شهرستان از شمال به شهرستان سلسه، از شمال‌شرق به شهرستان بروجرد، از شرق به شهرستان‌های دورود و الیگودرز، از جنوب به شهرستان‌اندیمشک و از غرب و جنوب‌غربی به شهرستان‌های کوه‌دشت و پلدختر محدود می‌شود. طبق آمار سال ۱۳۸۵، خرم‌آباد بیستمین شهر بزرگ کشور است. شهر خرم‌آباد دارای آب و هوایی مدیترانه‌ای با میزان بارندگی بسیار به ویژه در فصل‌های بهار و زمستان است و از این روی ششمین مرکز استان پربارش در ایران محسوب می‌شود. رشته‌کوه زاگرس در استان لرستان توپوگرافی متنوعی که شامل گونه‌های گیاهی و فاکتورهای آب و هوایی است را ایجاد کرده است (Mehrnia, 2017).

۲-۲- داده‌ها

در این پژوهش از داده‌های سنجنده MODIS که بر روی ماهواره Terra نصب گردیده، استفاده شده است. با استفاده از سری زمانی سال زراعی ۲۰۲۰ (سال زراعی در یک سال میلادی قرار گرفته است که طول رشد، شروع و پایان فصل

تابع گاووسین نامتقارن و لجستیک دوگانه نسبت به روش‌های ساویتزکی-گولای، روش هموارسازی باریک^۱ و هموارسازی پراکندگی محلی^۲ عملکرد دقیق‌تری را در بازسازی داده‌ها نشان می‌دهد (Cai et al, 2017). مو و همکاران در سال ۲۰۱۹ از تابع گاووسین نامتقارن، لجستیک دوگانه و فیلتر انطباقی ساویتزکی-گولای برای ساخت منحنی سری زمانی و استخراج پارامترهای فنولوژی شروع و پایان فصل در منطقه شمال و جنوب آسیای شرقی استفاده کرده‌اند. نتایج نشان داد که مدل گاووسین نامتقارن نسبت به دو روش دیگر در این منطقه عملکرد بهتری داشته است (Mo et al, 2019).

در سال ۲۰۲۰ هوانگ و همکاران (Huang et al, 2020) و ژو و همکاران (Zhou et al, 2020) برای استخراج پارامترهای فنولوژیکی و بازسازی سری زمانی NDVI با مقایسه روش‌های مختلف هموارسازی مانند روش فوریه و هارمونیک و از مدل TIMESAT، فیلتر انطباقی ساویتزکی-گولای استفاده کرده‌اند و طبق نتایج فیلتر ساویتزکی-گولای برای بازسازی سری زمانی سازگارتر است. ژانگ و همکاران در سال ۲۰۲۱ در پژوهشی تأثیر مدل‌ها، در بازسازی و پیش‌بینی سری زمانی را در منطقه‌ای از آمریکا مورد بررسی قرار داده‌اند. در این مطالعه عملکرد انواع مدل‌های سری زمانی مورد ارزیابی قرار گرفته است که شامل مدل‌هارمونیک، مدل اتورگرسیون، مدل حالت فضای گویی، مدل مکعبی، تابع لجستیک دوگانه و تابع گاووسین نامتقارن می‌باشد. طبق بررسی‌های انجام شده نتایج حاکی از آن است که تابع لجستیک دوگانه و تابع گاووسین نامتقارن نسبت به روش‌های دیگر در بازسازی داده‌ها با دقت بیشتری عمل می‌کند و مدل‌هارمونیک در پیش‌بینی داده‌ها مؤثرتر است (J. Zhang et al, 2021).

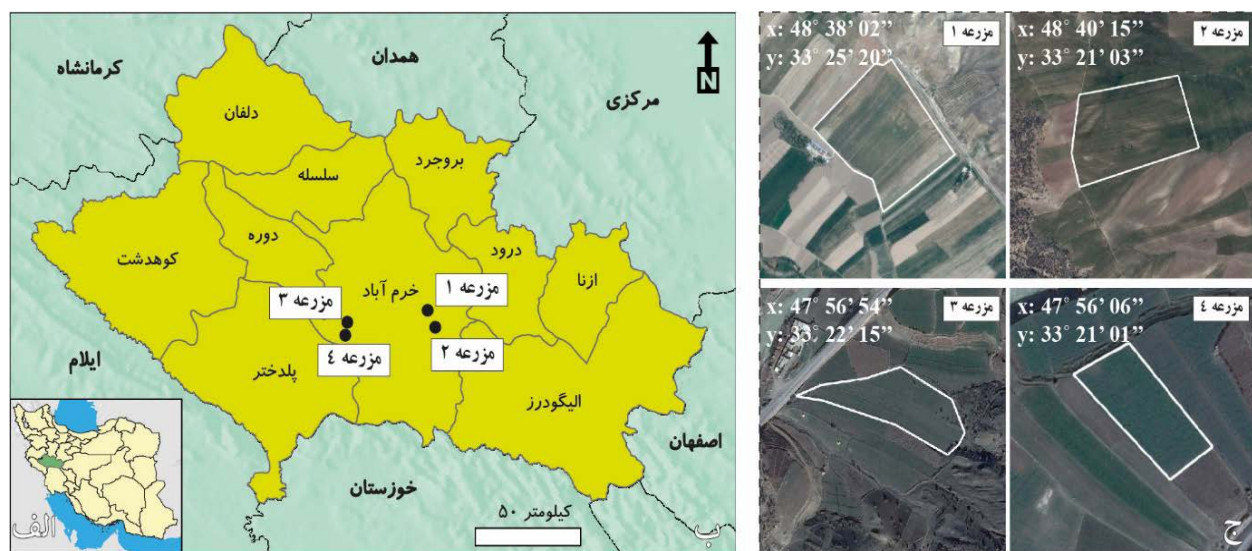
با وجود مطالعات صورت گرفته در حوزه فنولوژی پوشش گیاهی هنوز هم مشخص نیست کدام روش بهینه و دقیق‌تر، خصوصاً در مناطق کوهستانی عمل می‌کند و این موضوع

1- Spline smoothing

2- Locally weighted regression scatterplot smoothing

فصلنامه علمی - پژوهشی اطلاعات جغرافیایی (جغر)

ارزیابی توابع مختلف TIMESAT در بازسازی روند فنولوژی پوشش گیاهی ... / ۱۳۹



نگاره ۱: منطقه مورد مطالعه. الف: موقعیت استان لرستان در کشور ایران، ب: موقعیت شهرستان‌های استان لرستان، ج: مزارع انتخاب شده برای بررسی فنولوژی گیاه

مزرعه استفاده شد. تاریخ‌های شروع و پایان فصل به طور مستقیم برداشت شده است.

۳-۲- نرم افزارهای مورد استفاده
در مدل TIMESAT نرم افزاری تولید شده است که براساس کتابخانه‌های Matlab ارائه شده است. نرم افزار Timesat3.3 توابع گاوین نامتقارن، لجستیک دوگانه و فیلتر انطباقی ساويتزکی-گولای مورد استفاده قرار گرفته است. علاوه بر این، نرم افزارهای Arc GIS 10.3 و سامانه تحت وب گوگل ارث انجین برای آماده‌سازی داده‌ها به کار رفته‌اند.

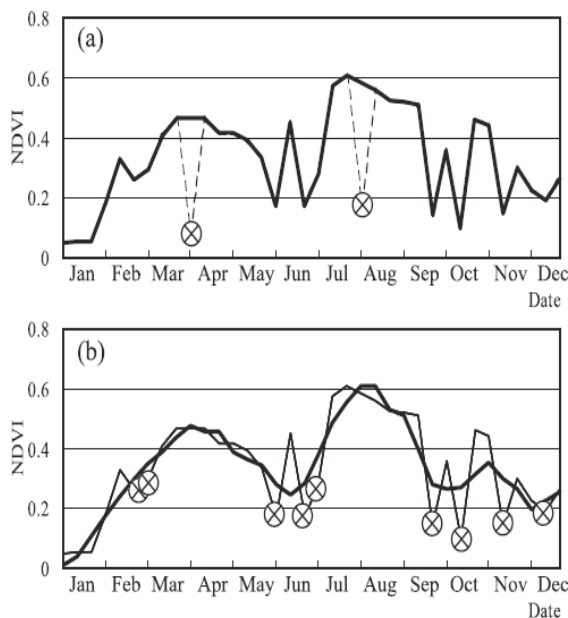
۴-۲- مدل TIMESAT
مدل TIMESAT برای تجزیه و تحلیل سری زمانی داده‌های ماهواره‌ای است. این مدل برای تخمین فصول رشد و همچنین برای محاسبه پارامترهای فنولوژیکی طراحی شده است.

با استفاده از روش‌های هموارسازی مختلف یک سری پارامترهای نوسانی مثل شروع و پایان فصل رشد، را می‌توان استخراج کرد. سه روش موجود در مدل TIMESAT

رشد در سال زراعی ۲۰۲۰ به دست آمده است) و مقادیر بازتاب طیفی باند قرمز و مادون قرمز نزدیک شاخص NDVI محاسبه می‌شود. داده‌های MODIS در باندهای ۱ و ۲ با قدرت تفکیک مکانی ۲۵۰ متر مورد استفاده قرار گرفتند. شاخص NDVI در رابطه (۱) نشان داده شده است (سیدحسین ثنایی‌نژاد و همکاران، ۱۳۹۷).

$$NDVI = \frac{NIR - RED}{NIR + RED} \quad (1)$$

در این رابطه NIR بازتاب طیفی باند ۲ سنجنده MODIS (محدوده طیفی ۸۴۱ تا ۸۷۶ نانومتر) و RED بازتاب طیفی باند ۱ سنجنده (محدوده طیفی ۶۲۰ تا ۶۷۰ نانومتر) هستند. داده‌ها قبل از اینکه وارد مدل شوند پیش پردازش‌ها و تصحیحات لازم بر روی آن‌ها اعمال شده است. این شاخص دارای مقادیر نرمال در دامنه بین ۱ تا +۱ است که بررسی و نمایش مقادیر را به راحتی میسر می‌کند. مناطقی که دارای پوشش گیاهی مترکم باشند این شاخص به سمت +۱ و نواحی که از لحاظ تراکم گیاهی ضعیف باشد و فعالیت فتوستتری حداقل باشد به سمت صفر میل می‌نماید. به‌منظور بررسی و اعتبار سنجی داده‌های حاصل از مدل با داده‌های زمینی از مشاهدات زمینی در منطقه و در هر چهار



نگاره ۲: نحوه برآذش چندجمله‌ای بر سری زمانی داده‌ها در روش فیلتر انطباقی ساویتزکی-گولای. (a) سری زمانی NDVI اصلی. (b) منحنی روند تغییر سری زمانی با اعمال فیلتر ساویتزکی-گولای (منحنی خطوط تیره)

(Chen et al, 2004)

$$\sum_{j=-n}^n C_j Y_i + j \quad \text{رابطه (۲)}$$

$$C_j = \frac{1}{2n+1} \quad \text{رابطه (۳)}$$

در رابطه (۲) n تعداد همسایه‌ها می‌باشد که کاربر آن را تعیین می‌کند که به آن پنجره متحرک گفته می‌شود. n و $-n$ به ترتیب تعداد نقاطی هستند که در سمت چپ و راست نقطه مورد نظر قرار می‌گیرند. برای انجام این برآذش از سه همسایه قبل و سه همسایه بعد از مقداری که قرار است اصلاح شود استفاده شده است. **J** نشان‌دهنده چندمین همسایه NDVI است که می‌خواهیم تابع را به آن برآذش دهیم. **C_j** وزن‌های همسایه‌ها هستند که از رابطه (۳) بدست می‌آید و **Y_i** مقادیر اصلاح نشده NDVI هستند که این مقادیر توسط یک ترکیب خطی در پنجره متحرک که توسط کاربر از پیش تعیین شده است جایگزین می‌شود. هر مقدار داده **2n + 1** توسط یک چندجمله‌ای درجه دوم به تمام

براساس حداقل مربعات برآذش و بالاترین ارزش عددی شاخص گیاهی انجام می‌شود که می‌تواند داده‌های اصلاح نشده NDVI را هموار کند (Eklundh and Jönsson, 2012).

برخی نویزها همچون داده‌های ابری را می‌توان با انجام پیش‌پردازش شناسایی و حذف کرد. اما نویزهای دیگری وجود دارند که تحت تأثیر رطوبت، سایه، ذرات گردوغبار، آلودگی هوا و یا خطاهای تصادفی به‌طور مستقل قابل شناسایی و حذف نیستند. زمانی می‌توان این خطاهای و نویزها را شناسایی و اصلاح کرد که در سری زمانی و مقایسه با همسایه‌های آن‌ها بررسی شود. به بیان دیگر این خطاهای سبب می‌شود که داده‌ها از روند منحنی فنولوژیکی تبعیت نکنند که در این صورت برای برطرف کردن این خطاهای از توابع هموارسازی می‌توان استفاده کرد. در پژوهش حاضر برای برطرف کردن نویزها و تشکیل سری زمانی اصلاح شده از توابع هموارسازی موجود در مدل TIMESAT استفاده شده است. روش اول برپایه توابع چندجمله‌ای محلی بوده که این روش به عنوان فیلتر انطباقی ساویتزکی-گولای می‌تواند طبقه‌بندی شود. دو روش دیگر اطلاعات را با توابع غیرخطی برآذش می‌دهند

(Eklundh and Jönsson, 2012)

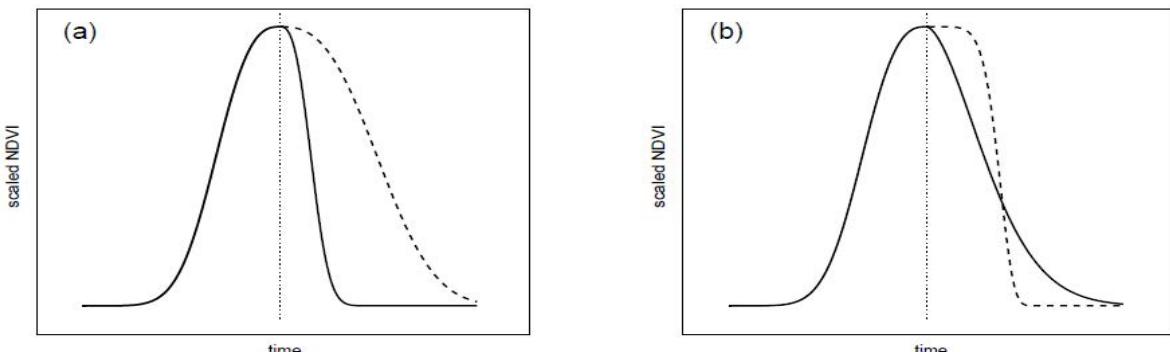
لازم به ذکر است که ورودی این توابع، داده اصلاح نشده NDVI است و خروجی حاصل از این توابع داده اصلاح و هموارشده NDVI است. این سه روش در ادامه تشریح شده‌اند.

۴-۱-۲- فیلتر انطباقی ساویتزکی-گولای

این روش برپایه توابع چندجمله‌ای محلی بوده که به عنوان فیلتر انطباقی ساویتزکی-گولای می‌تواند طبقه‌بندی شود (نگاره ۲). این فیلتر، می‌تواند برروی مجموعه‌ای از نقاط (مقادیر NDVI) به منظور هموار کردن داده‌ها به کار گرفته شود. این فیلتر انطباقی از توابع چندجمله‌ای برای برآذش استفاده می‌کند. در این روش، هموارسازی با استفاده از روابط (۲) و (۳) انجام می‌شود (Savitzky and Golay, 1964).

فصلنامه علمی - پژوهشی اطلاعات جغرافیایی (میر)

ارزیابی توابع مختلف TIMESAT در بازسازی روند فنولوژی پوشش گیاهی ... / ۱۴۱



نگاره ۳: اثرات تغییرات پارامترهای عرض پهنا و کشیدگی بر عملکردتابع گاووسین نامتقارن. شکل (a) پارامتر x_2 ، که عرض نیمه تابع راست را تعیین می‌کند، نسبت به مقدار نیمه چپ (خط پیوسته مشکی) کاهش یافته و (نقطه چین) افزایش یافته است. در شکل (b) پارامتر x_3 که صافی عملکرد را تعیین می‌کند، کاهش یافته است (خط پیوسته مشکی) و (نقطه چین) در مقایسه با نیمه چپ نمودار افزایش یافته است. (Eklundh and Jönsson, 2012).

نقاط در پنجره برازش داده می‌شود و مقدار اصلاح شده استفاده می‌شود. x_2 و x_3 پهنا و کشیدگی نیمه راست تابع را تعیین می‌کند. به همین ترتیب x_4 و x_5 پهنا و کشیدگی نیمه چپ تابع را تعیین می‌کنند (نگاره ۳).

۲-۴-۲- تابع گاووسین نامتقارن

تابع گاووسین نامتقارن نیمه سمت راست و چپ را جداگانه مدل می‌کند و بین حداقل و حداکثر یک تابع به هر دو قسمت، جداگانه برازش داده می‌شود. برازش به فواصل داده‌ای حول حداقل و حداکثر در سری زمانی است. این فیلتر را می‌توان در سری‌های زمانی مختلف اعمال کرد. تابع گاووسین حساسیت کمتری نسبت به نویز دارد و در مواردی که داده‌ها صحت بالایی دارند و کمتر تحت تأثیر خطا هستند، این تابع از طریق رابطه (۴) اعمال می‌شود.

(Jonsson and Eklundh, 2002)

$$g(t; x_1, \dots, x_4) = \frac{1}{1 + \exp\left(\frac{x_1 - t}{x_2}\right)} - \frac{1}{1 + \exp\left(\frac{x_3 - t}{x_4}\right)}$$

رابطه (۵)

که در آن x_1 موقعیت نقطه عطف سمت چپ را تعیین می‌کند. به همین ترتیب، x_3 موقعیت نقطه عطف سمت راست را تعیین می‌کند در حالی که x_2 و x_4 میزان تغییر را در نقاط عطف نشان می‌دهند به عبارت دیگر اگر میزان شیب مماس و میزان انحنایی که در نقطه عطف وجود دارد تغییر کند باعث می‌شود نمودار کشیده یا جمع‌تر شود و یک سمت نمودار کوتاه‌تر از طرف دیگر شود. در نتیجه این پارامترها می‌توانند باعث شوند سمت چپ و راست نمودار

جداگانه مدل می‌کند و بین حداقل و حداکثر یک تابع به هر داده‌ای حول حداقل و حداکثر در سری زمانی است. این فیلتر را می‌توان در سری‌های زمانی مختلف اعمال کرد. تابع گاووسین حساسیت کمتری نسبت به نویز دارد و در مواردی که داده‌ها صحت بالایی دارند و کمتر تحت تأثیر خطا هستند، این تابع از طریق رابطه (۴) اعمال می‌شود.

(Jonsson and Eklundh, 2002)

$$g(t; x_1, x_2, \dots, x_5) = \begin{cases} \exp\left[-\left(\frac{t - x_1}{x_2}\right)^{x_5}\right] & \text{if } t > x_1 \\ \exp\left[-\left(\frac{x_1 - t}{x_4}\right)^{x_5}\right] & \text{if } t < x_1 \end{cases}$$

رابطه (۴)

x_1 موقعیت حداکثر یا حداقل NDVI را تعیین می‌کند. پارامتر t متغیر مستقل زمانی می‌باشد. برای مقادیر NDVI که بعد از مقادیر ماکزیمم (x_1) قرار می‌گیرند از معادله اول در رابطه (۴) استفاده می‌شود و برای مقادیر NDVI که قبل از مقادیر ماکزیمم قرار می‌گیرند از معادله دوم در رابطه (۴)

زمان وسط فصل رشد^۱: به عنوان مقدار میانگین فاصله زمانی بین شروع و پایان فصل رشد می‌باشد.

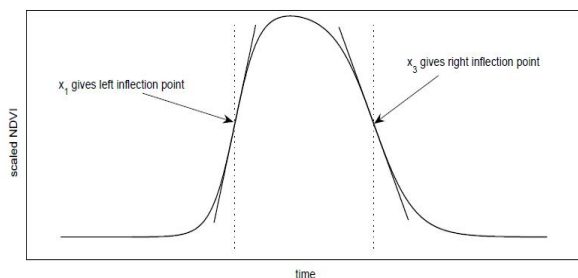
حد و ارزش پایه^۲: میانگین هر دو مینیمم منحنی NDVI سمت چپ و راست منحنی است.

حداکثر ارزش^۳: زمانی که میزان NDVI در بالاترین نقطه در منحنی رشد است به دست می‌آید.

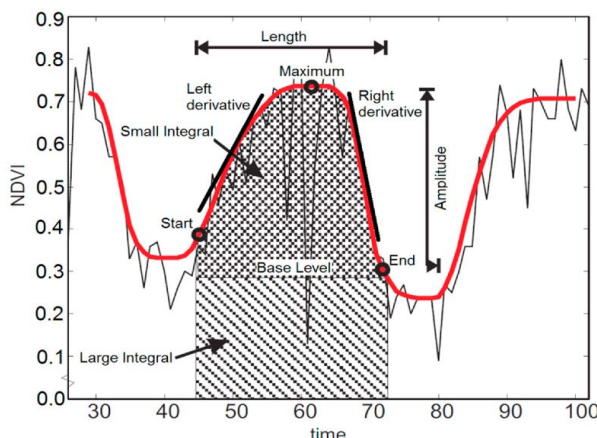
دامنه فصل رشد پوشش گیاهی^۴: از طریق اختلاف بین NDVI ماکزیمم و NDVI سطح پایه برآورد می‌شود. انتگرال فصلی بزرگ^۵: انتگرال (مساحت) نمودار فنولوژی از نقطه شروع تا پایان فصل رشد است.

انتگرال فصلی کوچک^۶: انتگرال اختلاف مقدار مساحت زیر نمودار فنولوژی و مساحت زیر سطح پایه است

(Jönsson and Eklundh 2004; Eklundh and Jönsson 2012)



نگاره ۴: برازش تابع لجستیک دوگانه. x_1 تعیین موقعیت نقطه عطف سمت چپ و x_3 نقطه عطف سمت راست را نشان می‌دهد. (Eklundh and Jönsson, 2012)



نگاره ۵: پارامترهای مختلف فنولوژیکی در طول یک دوره

رشد (Eklundh and Jönsson, 2012)

۶- خطای جذر میانگین مربعات (RMSE)^{۱۰}
پارامتر RMSE نشان‌دهنده میزان خطای مدل است. هر چه مقدار RMSE کمتر باشد نشان‌دهنده خطای کمتر مدل

۲- استخراج پارامترهای فنولوژی

پس از بازسازی منحنی‌های رشد در سری‌های زمانی شاخص‌های پوشش گیاهی و هموار شدن منحنی می‌توان پارامترهای مختلف فنولوژی را طبق مراحل زیر استخراج نمود. نمودار فنولوژی یک روند زنگوله‌ای شکل دارد که مطابق (نگاره ۵) شامل یک مینیمم NDVI در سمت چپ، یک ماکزیمم NDVI در سمت راست نمودار و یک ماکزیمم NDVI می‌باشد. (نگاره ۵) پارامترهای مختلف فنولوژی سری زمانی NDVI را نشان می‌دهد. این پارامترها به شرح زیر محاسبه می‌شوند.

زمان شروع فصل^۱: زمانی که مقدار NDVI از ۱۵ درصد مینیمم سمت چپ افزایش یابد زمان شروع فصل آغاز می‌شود. در پژوهش حاضر زمان شروع فصل و پایان فصل رشد، فاصله زمانی از روز اول ژانویه هر سال می‌باشد.

زمان پایان فصل^۲: زمانی که مقدار NDVI از ۱۵ درصد مینیمم سمت راست بیشتر باشد پایان فصل رشد محاسبه می‌شود. طول فصل رشد^۳: اختلاف فاصله زمانی بین شروع فصل رشد تا پایان فصل رشد می‌باشد.

4- Middle of the season

5- Base level

6- Maximum value

7- Amplitude

8- Large seasonal integral

9- Small seasonal integral

10- Root-Mean-Square Error

1- Start of the season

2- End of the season

3- Length of the season

فصلنامه علمی - پژوهشی اطلاعات جغرافیایی (۲۰۱۴)

ارزیابی توابع مختلف TIMESAT در بازسازی روند فنولوژی پوشش گیاهی ... / ۱۴۳

محیط سامانه تحت وب گوگل ارث انجین انجام گرفت. اجرای مدل TIMESAT به طور کلی طبق مراحل مختلف انجام گرفت:

۱) روند موجود در داده‌های سری زمانی NDVI با استفاده

از روش تجزیه روند فصلی محاسبه و بررسی شد؛

۲) در سری زمانی NDVI پیکسل‌هایی که مقادیر کم دارند حذف شدند؛

۳) روندهای فصلی موجود در سری زمانی داده‌های NDVI که براساس هارمونیک سینوسی با هدف تعیین فصول رشد کار می‌کنند محاسبه شد؛

۴) منحنی‌های هموار شده با استفاده از توابع هموارسازی گاووسین نامتقارن، لجستیک دوگانه و فیلتر انطباقی ساویتزکی-گولای برای یک سال استخراج شدند (نگاره ۳)؛

۵) پارامترهای مختلف فنولوژیکی برای هر چهار مزرعه استخراج شد که در جدول (۱) نشان داده شده است. منحنی که با رنگ آبی نمایش داده شده مربوط به داده‌های اصلاح نشده است.

همانطور که در (نگاره ۶) دیده می‌شود تعدادی از نقاط از روند فنولوژیکی تبعیت نمی‌کنند که به علت خطاهای موجود یا پوشش ابر و ... است که از روند عادی و طبیعی پیروی نمی‌کنند. منحنی به رنگ نارنجی نمایانگر اعمال فیلتر انطباقی ساویتزکی-گولای بر روی منحنی اصلاح نشده است. منحنی مربوط به تابع گاووسین نامتقارن به رنگ بنفش دیده می‌شود و منحنی زرد رنگ نشان‌دهنده تابع لجستیک دوگانه است.

نتایج حاصل از سری‌های زمانی NDVI در مزرعه یک در منطقه مورد نظر برای گیاه گندم در نگاره (۶ - الف) ارائه شده است. در پیش‌پردازش‌ها خطاهای مربوط به داده‌های ابری حذف شده‌اند. خطاهای باقیمانده عمدتاً به دلایل رطوبت خاک، آبیاری و ... هستند که در مزارع مختلف ممکن است این اتفاق در یک زمان یکسان رخنداده باشد. همانطور که در شکل‌ها مشخص است مقادیر حداقل و حداکثر NDVI در طول یک سال در حال نوسان

است. بهترین مقدار RMSE برابر صفر است. RMSE از طریق رابطه (۶) محاسبه می‌شود. در این رابطه Y_i ، X_i و n به ترتیب داده‌های واقعی، داده‌های پیش‌بینی و تعداد نمونه‌های مدل هستند.

$$RMSE: \sqrt{\frac{\sum_{i=1}^n (X_i - Y_i)^2}{n}} \quad \text{رابطه (۶)}$$

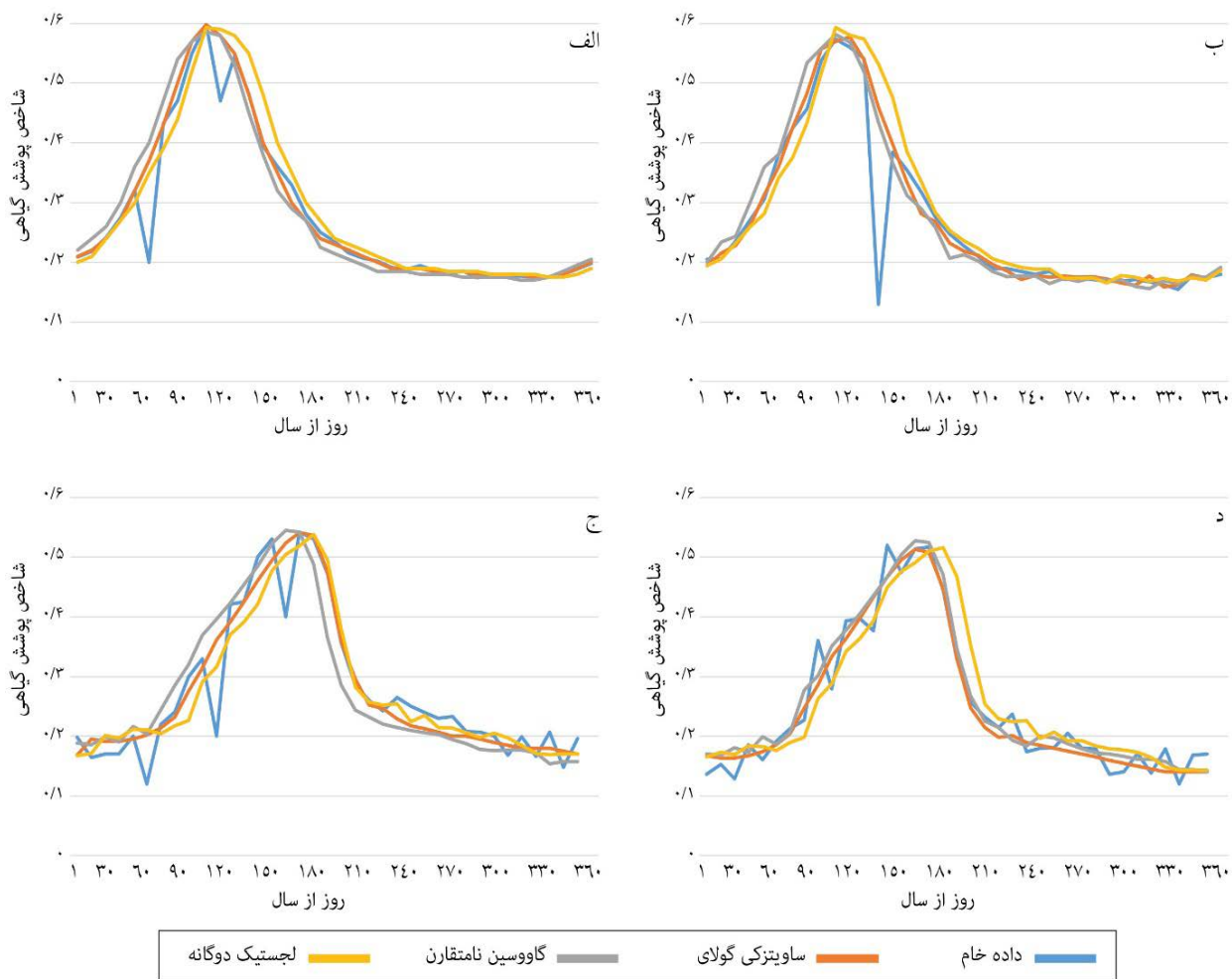
۳- بحث و یافته‌های تحقیق

۱-۳- هموارسازی با استفاده از توابع گاووسین نامتقارن، لجستیک دوگانه و فیلتر انطباقی ساویتزکی-گولای

در این مطالعه از چهار مزرعه گندم با مختصات مشخص شده در (نگاره ۱) که از بخش‌های مختلف شهرستان خرم‌آباد می‌باشند، برای بررسی رفتار فنولوژی گیاه و استخراج پارامترهای فنولوژی استفاده شد.

بخش‌های شمالی و شرقی خرم‌آباد جزء مناطق سردسیر استان هستند. بخش‌های جنوبی و غربی از جمله مناطق گرمسیر محسوب می‌شوند. بنابراین، مزرعه ۱ و ۲ با مساحت ۲۱ هکتار از اقلیم سردسیر، مزرعه ۳ با مساحت ۹ هکتار و مزرعه ۴ با مساحت ۱۱ هکتار از اقلیم گرمسیر منتخب شده‌اند. توان تفکیک مکانی یک پیکسل MODIS در باندهای قرمز و مادون قرمز ۲۵۰ متر است. اراضی کشاورزی در ایران غالباً ابعاد کوچکی دارند و زمین‌های کشاورزی وسیع بسیار محدودند. اما با توجه به این محدودیت‌ها مزارع به گونه‌ای انتخاب شدند که حداقل یک پیکسل MODIS در آن‌ها قرار گیرد. مدل TIMESAT همانطور که در بخش روش‌ها گفته شد، به‌منظور تجزیه و تحلیل سری‌های زمانی ماهواره‌های ارائه شده است که با به‌کارگیری این مدل نوسانات فصلی داده‌های سری زمانی ماهواره‌ای را در سال ۲۰۲۰ بررسی و ارتباط آن‌ها را با فنولوژی تعیین کردیم. این مدل بر روی شاخص‌های گیاهی NDVI اجرا شد.

برای تولید سری زمانی NDVI از رابطه (۱) و تصاویر ماهواره‌ای MODIS استفاده شده است که این مراحل در



نگاره ۶: منحنی های هموار شده با توابع نامتقارن گاویسین، لجستیک دوگانه و ساویتزکی- گولای- (الف) مزرعه ۱،
 (ب) مزرعه ۲، (ج) مزرعه ۳، (د) مزرعه ۴

نگاره (۶ - ج) سری زمانی را در مزرعه سه نشان می دهد که بیشترین خطا در ۷۰امین روز، ۱۲۰امین روز و ۱۵۵امین روز دیده می شود.

نگاره (۶ - د) معرف سری زمانی NDVI در مزرعه چهار است که در روزهای بیشتری نسبت به مزارع دیگر دارای خطا می باشد.

هر سه تابع هموار سازی، جا افتادگی بین داده ها و داده های پرت را شناسایی و اصلاح کردند و نموداری که تولید شده است نشان می دهد که داده های پرت و جا افتاده در فرآیند باز سازی داده های سری زمانی حذف و با داده های اصلاح شده جایگزین شده است.

است. منحنی آبی که منحنی اصلاح نشده می باشد دارای خطاهایی نظیر آبیاری و یا احتمالاً مرطوب بودن خاک است که داده های پرت در ۵۰امین و ۲۰امین روز از سال دیده می شوند که مقدار NDVI کمتر از روزهای دیگر است. پس از حذف خطاهای موجود از سری زمانی NDVI از طریق برآش منحنی های ساویتزکی- گولای (منحنی نارنجی)، گاویسین نامتقارن (منحنی بنفش) و لجستیک دوگانه (منحنی زرد) به منحنی اصلاح نشده (منحنی آبی) سری زمانی هموار سازی شد.

نگاره (۶ - ب) سری زمانی NDVI در مزرعه دو را نشان می دهد که حداکثر خطا در ۱۴۰امین روز سال رخ داده است.

فصلنامه علمی - پژوهشی اطلاعات جغرافیایی (۲۰۲۳)

ارزیابی توابع مختلف TIMESAT در بازسازی روند فنولوژی پوشش گیاهی ... / ۱۴۵

گیاهی پارامترهای آغاز فصل رشد، پایان فصل رشد، طول

دوره رشد، حد و میزان پایه، زمان اوج دوره رشد، حداقلر مقدار NDVI گیاه گندم، دامنه نوسان، انتگرال فصلی بزرگ و انتگرال فصلی کوچک با استفاده از مدل TIMESAT از سری زمانی یکساله استخراج و در قالب جدول (۱) ارائه شده است.

دوره رشد در مزارع گرسییر (مزرعه ۱ و ۲) در روش

ساویتزکی-گولای به طور میانگین در ۸ بهمن ۱۳۹۸ آغاز

۲-۳- استخراج پارامترهای فنولوژیکی

استخراج پارامترهای فنولوژی از سریهای زمانی NDVI به یک روند پیوسته و بدون داده‌های از دست رفته نیاز دارد که با استفاده از توابع هموارسازی در مدل TIMESAT این روند به دست آمده است. پس از بازسازی و هموارسازی داده‌ها با استفاده از توابع هموارسازی گاوین نامقarn، لجستیک دوگانه و فیلتر انطباقی ساویتزکی-گولای و تولید

منحنی‌های رشد در سریهای زمانی شاخص‌های پوشش

جدول ۱: پارامترهای فنولوژیکی محاسبه شده با استفاده از مدل‌های هموارسازی ساویتزکی-گولای، گاوین نامقarn، لجستیک دوگانه

| موقعیت | مدل‌ها | شروع رشد (روز از سال) | پایان فصل رشد (روز از سال) | طول دوره رشد (روز) | ارزش پایه | زمان وسط فصل رشد (روز از سال) | حداکثر مقدار NDVI | دامنه فصل رشد | انتگرال فصلی بزرگ | انتگرال فصلی کوچک |
|---------|----------------|-----------------------|----------------------------|--------------------|-----------|-------------------------------|-------------------|---------------|-------------------|-------------------|
| مزرعه ۱ | ساویتزکی گولای | ۲۹ | ۱۰۵ | ۱۲۶ | ۰/۲۷۲۱ | ۹۲ | ۰/۰۹۵۳ | ۰/۳۲۳۲ | ۳/۴۲۵ | ۱/۴۳۰۳ |
| | گاوین نامقarn | ۳۰ | ۱۶۰ | ۱۳۰ | ۰/۲۵۷۷ | ۹۵ | ۰/۰۹۸۱ | ۰/۳۴۰۴ | ۳/۳۱۲ | ۱/۵۶۵۷ |
| | لجستیک دوگانه | ۳۶ | ۱۷۰ | ۱۳۴ | ۰/۲۶۱۹ | ۱۰۳ | ۰/۰۹۱۲ | ۰/۳۲۹۳ | ۳/۵۴۳۴ | ۱/۰۰۹۹ |
| | ساویتزکی گولای | ۲۷ | ۱۵۶ | ۱۲۹ | ۰/۲۴۶۵ | ۹۲ | ۰/۰۵۷۰۱ | ۰/۳۲۳۶ | ۳/۸۵۶۷ | ۱/۷۳۴۸ |
| مزرعه ۲ | گاوین نامقarn | ۳۱ | ۱۶۴ | ۱۳۳ | ۰/۲۳۴۱ | ۹۸ | ۰/۰۵۷۳۳ | ۰/۳۳۲۹۲ | ۳/۷۲۱۹ | ۱/۷۱۲۲ |
| | لجستیک دوگانه | ۳۷ | ۱۷۲ | ۱۲۸ | ۰/۲۳۹۸ | ۱۰۴ | ۰/۰۵۸۲۳ | ۰/۳۴۲۵ | ۳/۸۷۶۹ | ۱/۸۰۱۲ |
| | ساویتزکی گولای | ۸۰ | ۱۹۶ | ۱۱۶ | ۰/۲۱۶۱ | ۱۳۸ | ۰/۰۵۳۲۶ | ۰/۳۱۶۵ | ۳/۳۴۹۸ | ۱/۳۲۵۹ |
| | گاوین نامقarn | ۸۹ | ۱۹۸ | ۱۰۹ | ۰/۲۱۹۲ | ۱۴۳ | ۰/۰۵۲۲۷ | ۰/۳۰۳۵ | ۳/۰۵۴۳ | ۱/۲۳۸۷ |
| مزرعه ۳ | لجستیک دوگانه | ۱۰۰ | ۱۹۸ | ۹۸ | ۰/۲۰۴۹ | ۱۴۹ | ۰/۰۵۲۴۵ | ۰/۳۱۹۶ | ۳/۸۲۰۴ | ۱/۱۴۵۷ |
| | ساویتزکی گولای | ۸۷ | ۱۸۶ | ۹۹ | ۰/۲۰۵۲ | ۱۳۶ | ۰/۰۵۱۲۷ | ۰/۳۰۷۵ | ۳/۱۵۵۷ | ۱/۲۳۶۷ |
| | گاوین نامقarn | ۸۹ | ۱۸۷ | ۹۸ | ۰/۲۱۱۲ | ۱۳۸ | ۰/۰۵۱۴۵ | ۰/۳۰۳۳ | ۳/۱۴۳۳ | ۱/۲۲۸۷ |
| | لجستیک دوگانه | ۹۵ | ۱۹۰ | ۱۰۰ | ۰/۲۰۸۷ | ۱۴۵ | ۰/۰۵۰۸۶ | ۰/۲۹۹۹ | ۳/۰۶۱ | ۱/۲۴۰۵ |
| مزرعه ۴ | ساویتزکی گولای | ۸۷ | ۱۸۶ | ۹۹ | ۰/۲۰۵۲ | ۱۳۶ | ۰/۰۵۱۲۷ | ۰/۳۰۷۵ | ۳/۱۵۵۷ | ۱/۲۳۶۷ |
| | لجستیک دوگانه | ۹۵ | ۱۹۰ | ۱۰۰ | ۰/۲۰۸۷ | ۱۴۵ | ۰/۰۵۰۸۶ | ۰/۲۹۹۹ | ۳/۰۶۱ | ۱/۲۴۰۵ |

شده در حالی که آغاز دوره رشد در مزارع سردسیر (مزرعه ۳ و ۴) به طور میانگین در ۱۲ اسفند ۱۳۹۸ اتفاق افتاده است. پایان دوره رشد گیاه در مزارع گرسنگی به طور متوسط در ۱۴ خرداد ۱۳۹۹ و در مزارع سردسیر به طور متوسط در ۱۹ تیر ۱۳۹۹ رخ داده است. طول دوره رشد در مزارع گرسنگی به طور متوسط ۱۲۷ روز بوده است و در مزارع سردسیر ۱۰۷ روز بوده است. شروع دوره رشد با استفاده از تابع گاووسین نامتقارن در مزارع گرسنگی جدول (۱) حاکی از آن است که شروع دوره رشد به ۱۱ بهمن و در مزارع سردسیر به ۱۰ فروردین ۱۳۹۹ رسیده است. پایان فصل رشد در مزارع گرسنگی ۲۱ خرداد ۱۳۹۹ و همچنین این پارامتر در مزارع سردسیر در ۲۰ تیر ۱۳۹۹ اتفاق افتاده است. دامنه و طول رشد برای مزارع گرسنگی به طور میانگین ۱۳۱ روز و برای مزارع سردسیر ۱۰۳ روز بوده است. شروع فصل رشد با استفاده از تابع لجستیک دوگانه در مزارع گرسنگی به طور متوسط در ۱۶ بهمن ۱۳۹۸ بوده است و در مزارع سردسیر در ۱۸ فروردین ۱۳۹۹ رخ داده است. پایان دوره رشد نیز به طور متوسط به ترتیب در مزارع گرسنگی و سردسیر در ۳۰ خرداد ۱۳۹۹ و ۲۴ تیر ۱۳۹۹ اتفاق افتاده است. طول دوره رشد نیز به ترتیب در مزارع گرسنگی و سردسیر ۱۳۶ روز و ۹۹ روز بوده است.

مطابق با جدول (۲) در نهایت محاسبه RMSE نشان داد که در این مزارع به طور متوسط چه مقدار خطأ وجود دارد. همانطور که در جدول (۲) نشان داده شده است اختلاف شروع فصل رشد و پایان فصل رشد با توابع نامتقارن گاووسین و لجستیک دوگانه در هر چهار مزرعه زیاد می باشد اما در مزرعه یک اختلاف شروع فصل رشد با روش فیلتر انطباقی ساویتیزکی-گولای ۱ روز و پایان فصل رشد ۲ روز، در مزرعه دو اختلاف شروع فصل رشد با روش فیلتر ۳ روز و اختلاف پایان فصل رشد ۳ روز، در مزرعه سه اختلاف شروع فصل رشد ۳ روز و اختلاف پایان فصل رشد ۱ روز و اختلاف پایان فصل رشد ۳ روز را نشان می دهد. بررسی های انجام شده حاکی از آن است که RMSE شروع و پایان فصل رشد برای فیلتر هموارسازی ساویتیزکی-گولای به طور میانگین ۲ می باشد. میانگین RMSE شروع و پایان فصل رشد تابع گاووسین نامتقارن به ترتیب ۴/۵ و ۴ به دست آمده است و در نهایت میانگین RMSE شروع و پایان فصل رشد تابع لجستیک دوگانه ۱۱ می باشد. با توجه به RMSE محاسبه شده مدل ها می توان نتیجه گرفت که فیلتر انطباقی ساویتیزکی-گولای در حذف داده های پرت و برآورد پارامترهای فنولوژیکی با دقت بیشتر و خطای کمتری عمل می کند. تاکنون ارزیابی توابع مختلف TIMESAT در مطالعات داخل کشور انجام

۳-۳- اعتبارسنجی و ارزیابی مدل ها

برای اینکه نشان دهیم کدام مدل بهترین نتیجه را با کمترین خطای را دارد، مدل ها مورد ارزیابی قرار گرفتند. اعتبارسنجی مقادیر به دست آمده از مدل ها با داده های زمینی که در بررسی های میدانی به دست آمده، مقایسه شده است. تعدادی از پارامترها همچون انگلکال فصلی بزرگ یا کوچک که از مدل TIMESAT به دست می آید بر روی سطح زمین قابل اندازه گیری نیست، اما پارامترهای شروع فصل رشد و پایان فصل رشد، که مهم ترین پارامترهای فنولوژیکی هستند را می توان اندازه گرفت. در بررسی های میدانی انجام شده زمان جوانه زدن گیاه گندم در مزرعه یک، ۸ بهمن ماه

فصلنامه علمی - پژوهشی اطلاعات جغرافیایی (۲۸۰)

ارزیابی توابع مختلف TIMESAT در بازسازی روند فنولوژی پوشش گیاهی ... / ۱۴۲

جدول ۲: اعتبارسنجی و میزان خطای پارامترهای فنولوژیکی

| موقعیت | مدل‌ها | زمان جوانه‌زنی (روز از سال) | زمان برداشت (روز از سال) | پایان فصل رشد (روز از سال) | خطای شروع فصل رشد | خطای پایان فصل رشد | خطای پایان فصل رشد |
|---------|------------------|-----------------------------|--------------------------|----------------------------|-------------------|--------------------|--------------------|
| مزرعه ۱ | ساویتزکی گولای | ۱۵۳ | ۲۸ | ۱۵۵ | ۲۹ | ۱ | ۲ |
| | گاوسمین نامتقارن | | | | | | |
| | لجستیک دوگانه | | | | | | |
| مزرعه ۲ | ساویتزکی گولای | ۱۵۸ | ۲۴ | ۱۶۰ | ۳۰ | ۷ | ۷ |
| | گاوسمین نامتقارن | | | | | | |
| | لجستیک دوگانه | | | | | | |
| مزرعه ۳ | ساویتزکی گولای | ۱۹۷ | ۸۳ | ۱۵۶ | ۲۷ | ۳ | ۲ |
| | گاوسمین نامتقارن | | | | | | |
| | لجستیک دوگانه | | | | | | |
| مزرعه ۴ | ساویتزکی گولای | ۱۸۳ | ۸۸ | ۱۶۴ | ۳۱ | ۷ | ۶ |
| | گاوسمین نامتقارن | | | | | | |
| | لجستیک دوگانه | | | | | | |
| ۱۴ | ساویتزکی گولای | ۱۹۸ | ۸۹ | ۱۷۰ | ۳۶ | ۸ | ۱۷ |
| | گاوسمین نامتقارن | | | | | | |
| | لجستیک دوگانه | | | | | | |
| ۱ | ساویتزکی گولای | ۱۹۸ | ۸۰ | ۱۷۲ | ۳۷ | ۱۳ | ۷ |
| | گاوسمین نامتقارن | | | | | | |
| | لجستیک دوگانه | | | | | | |
| ۱۲ | ساویتزکی گولای | ۱۹۵ | ۹۵ | ۱۸۶ | ۸۷ | ۱ | ۳ |
| | گاوسمین نامتقارن | | | | | | |
| | لجستیک دوگانه | | | | | | |

فنولوژی پوشش گیاهی نظیر آغاز و پایان دوره رشد بین پارامترهای بهدهست آمده در مزارع گرمسیر و سردسیر مقایسه‌ای انجام شده است. در خصوص نقطه اوج پوشش گیاهی در مزارع گرمسیر به‌طور میانگین در ۹ فروردین ۱۳۹۹ اتفاق می‌افتد، در حالی که در مناطق سردسیر در ۳۱ اردیبهشت ۱۳۹۹ این اتفاق رخ می‌دهد.

اوج پوشش گیاهی در مناطق گرمسیر نسبت به مناطق سردسیر، حدود دو ماه زودتر اتفاق می‌افتد. در مزارع گرمسیر عمدهاً به علت اختلاف در ارتفاع، قرارگیری در جبهه هوایی مختلف و جهت شیب، نقطه حداکثر مقدار NDVI به‌طور میانگین به $59/0$ رسیده اما در مزارع سردسیر این مقدار از حدود $51/0$ افزایش نداشته است. بر این اساس می‌توان گفت که در مزارع گرمسیر پوشش گیاهی از تراکم بالاتری نسبت به مناطق سردسیر برخوردار بوده است و این امر به علت محدودیت‌هایی از جمله دما و تابش کم خورشید در مناطق سردسیر است. پارامتر سطح زیر نمودار در مزارع گرمسیر حدود $62/3$ بهدهست آمده است اما برای مزارع سردسیر حدود $09/3$ برآورده شده است. به

نشده است. مطالعاتی که در سطح دنیا انجام شده است نشان می‌دهد که در هر یک از مناطق جهان ممکن است یکی از توابع نتایج بهتری داشته باشد که در مناطق دیگر نیز قابل تعمیم نباشد. نتایج مطالعات (Chen et al, 2004) (Testa et al, 2014) و (Mo et al, 2019) به ترتیب نشان می‌دهند که فیلتر انطباقی ساویتزکی-گولای، لجستیک دوگانه و گاوسمین نامتقارن عملکرد بهتری در مناطق مورد مطالعه‌شان داشته‌اند، که این نشان می‌دهد لازم است برای هر منطقه، این ارزیابی به صورت جداگانه انجام شود تا تعیین شود کدام تابع بهینه‌تر عمل می‌کند. بررسی و ارزیابی هر سه تابع TIMESAT برای کشور ایران (به صورت موردي در استان لرستان) که زمین‌های کشاورزی آن عموماً در دشت‌ها و کوهپایه‌های فلات ایران قرار دارند انجام پذیرفت. طبق نتایج، فیلتر انطباقی ساویتزکی-گولای نتیجه بهتری را برای استخراج پارامترهای فنولوژیکی نشان می‌دهد.

۳-۴- تأثیر ارتفاع و دما بر پارامترهای فنولوژیکی به منظور تجزیه و تحلیل تأثیر اقلیم بر پارامترهای

گرمسیر شهرستان خرم‌آباد در ۱۵/۳۱امین روز سال (میلادی) رخ می‌دهد، در حالی که در مناطق سردسیر به طور میانگین در ۹۰امین روز سال اتفاق می‌افتد. حدوداً رشد گیاه گندم در مناطق گرمسیر یک ماه و نیم تا دو ماه نسبت به مناطق سردسیر زودتر رخ می‌دهد. پایان دوره فصل رشد در مناطق گرمسیر در ۶۳امین روز و در مناطق سردسیر به ۹۳امین روز رخ می‌دهد. به طور کلی با فرض شرایط یکسان، بازدهی محصولات کشاورزی مناطق سردسیر پایین‌تر از مناطق گرمسیر است. گواه این مطلب کمتر بودن سطح زیر منحنی (انتگرال بزرگ فصلی و انتگرال کوچک فصلی) و همچنین کمتر بودن حداکثر مقدار NDVI در مناطق سردسیر نسبت به مناطق گرمسیر است. در مناطق گرمسیر به علت افزایش سریعتر و بیشتر دما، سرعت روند مراحل فنولوژیکی گیاه افزایش یافته و منجر به شروع سریع‌تر فصل رشد و افزایش طول فصل رشد محصول می‌شود.

همین علت مناطق سردسیر در مجموع دارای NDVI کمتری نسبت به مناطق گرمسیر می‌باشند. اختلاف دما به صورت میانگین بین ۱۰-۱۲ درجه بین مزارع گرمسیر و سردسیر و همچنین اختلاف ارتفاع بین ۴۵۰-۵۰۰ متر باعث نوسان در میزان NDVI شده است.

می‌توان گفت که شرایط آب و هوایی در این استان در طول یک سال دارای نوسان است و همین مسئله صرف نظر از موارد مدیریت کشاورزی همچون نوع بذر، نوع آبیاری و کوددهی، دلیل قطعی این تنوع فنولوژیکی است که منجر به تفاوت در آغاز فصل رشد، اوج پوشش و پایان فصل رشد گیاهان در بخش‌های مختلف سردسیر و گرمسیر استان شود. به طور کلی دوره رشد گیاهان در مناطق سردسیر در این استان با حدوداً دو ماه تأخیر نسبت به مناطق گرمسیر اتفاق می‌افتد.

۴- نتیجه گیری

۵- پیشنهادات

بر همین اساس با توجه به نتایج به دست آمده پیشنهاد می‌شود برای بررسی رفتار فنولوژیکی پوشش‌های گیاهی مختلف در سایر مناطق کوهستانی کشور از فیلتر انطباقی ساویتزکی-گولای استفاده شود. البته با توجه به اینکه در بخش‌های کوهستانی مختلف این مدل اجرا نشده است، پارامترهای مختلف و شرایط محیطی متفاوت هم می‌توانند بر نتایج حاصل از این مدل تأثیر بگذارند. اگر از این مدل در مناطق کوهستانی کشور استفاده شود ترجیح این است از فیلتر ساویتزکی-گولای نسبت به دو تابع دیگر استفاده شود.

۶- منابع و مأخذ

۱- ثبایی‌زاد، شاه‌طهماسبی، صدرآبادی‌حقیقی، کلارستانی؛ سیدحسین، امیررضا، رضا، کیومرث (۱۳۸۷)، مطالعه تغییرات طیف بازتابی مزارع گندم در مشهد با استفاده از تصاویر MODIS، علوم آب و خاک (علوم و فنون کشاورزی و منابع طبیعی)، دوره ۱۲ شماره ۴۵ الف، ص ۱۱-۱۹

در مطالعه حاضر با به کارگیری داده‌های NDVI به دست آمده از MODIS با استفاده از توابع مختلف مدل TIMESAT داده‌های پرت شناسایی و با داده‌های اصلاح شده بازسازی و سپس پارامترهای فنولوژیکی استخراج شدند. مطابق نتایج به دست آمده از پژوهش حاضر می‌توان گفت که فیلتر انطباقی ساویتزکی-گولای با RMSE برابر ۲ نسبت به دو مدل گاوین نامتقارن و لجستیک دوگانه به عنوان مدل مؤثرتری در برطرف کردن داده‌های پرت و استخراج پارامترهای فنولوژیکی در مناطق کوهستانی عمل می‌کند. همچنین تأثیر اقلیم بر رفتار فنولوژیکی گیاهان را در این منطقه نمی‌توان نادیده گرفت. زیرا شرایط آب و هوایی در این منطقه جدا از مسائل مربوط به نوع کشت، نوع بذر و دیگر موارد کشاورزی در طول یک سال متنوع است و این نوع اقلیمی در گیاهان مختلف می‌تواند منجر به تغییر فاحشی در پارامترهای فنولوژی شود. نتایج در دو منطقه سردسیر و گرمسیر در منطقه مورد مطالعه نشان داد که به طور متوسط شروع دوره رشد گیاه گندم در منطقه

فصلنامه علمی - پژوهشی اطلاعات جغرافیایی (میراث)

ارزیابی توابع مختلف TIMESAT در بازسازی روند فنولوژی پوشش گیاهی ... / ۱۴۹

2002. "Relation between Landform and Vegetation in Alpine Regions of Wallis, Switzerland. A Multiscale Remote Sensing and GIS Approach." *Computers, Environment and Urban Systems* 26(2–3): 113–39.
- 13- Hosseini, Seyed Zeinolabedin, and Hamid Reza Ghafarian Malamiri. 2017. "Reconstruction of MODIS NDVI Time Series Using Harmonic AN Alysis of Time Series Algorithm (HANTS)." *The Journal of Spatial Planning* 21(3): 221–55.
- 14- Huang, Zhibin et al. 2020. "Remote Sensing Monitoring of Vegetation Dynamic Changes after Fire in the Greater Hinggan Mountain Area: The Algorithm and Application for Eliminating Phenological Impacts." *Remote Sensing* 12(1): 156.
- 15- Jonsson, Per, and Lars Eklundh. 2002. "Seasonality Extraction by Function Fitting to Time-Series of Satellite Sensor Data." *IEEE transactions on Geoscience and Remote Sensing* 40(8): 1824–32.
- 16- Jönsson, Per, and Lars Eklundh. 2004. "TIMESAT—a Program for Analyzing Time-Series of Satellite Sensor Data." *Computers & geosciences* 30(8): 833–45.
- 17- Julien, Yves, and José A Sobrino. 2010. "Comparison of Cloud-Reconstruction Methods for Time Series of Composite NDVI Data." *Remote Sensing of Environment* 114(3): 618–25.
- 18- Lara, Bruno, and Marcelo Gandini. 2016. "Assessing the Performance of Smoothing Functions to Estimate Land Surface Phenology on Temperate Grassland." *International Journal of Remote Sensing* 37(8): 1801–13.
- 19- Lu, Dengsheng, Paul Mausel, Eduardo Brondizio, and Emilio Moran. 2004. "Change Detection Techniques." *International journal of remote sensing* 25(12): 2365–2401.
- 20- Magee, Teresa K, Paul L Ringold, and Michael A Bollman. 2008. "Alien Species Importance in Native Vegetation along Wadeable Streams, John Day River Basin, Oregon, USA." *Plant Ecology* 195(2): 287–307.
- 21- Mehrnia, Mohammad. 2017. "Floristic Study of the Ghalaei-Kashkan Region (Lorestan)." *Iranian Journal of Plant Biology* 9(1): 21–44.
- 22- Mo, Yunhua et al. 2019. "Temporal and Spatial Dynamics of Phenology along the North–South Transect 2- Beck, Pieter S A et al. 2006. "Improved Monitoring of Vegetation Dynamics at Very High Latitudes: A New Method Using MODIS NDVI." *Remote sensing of Environment* 100(3): 321–34.
- 3- Blaes, Xavier et al. 2016. "Quantifying Fertilizer Application Response Variability with VHR Satellite NDVI Time Series in a Rainfed Smallholder Cropping System of Mali." *Remote Sensing* 8(6).
- 4- Cai, Zhanzhang, Per Jönsson, Hongxiao Jin, and Lars Eklundh. 2017. "Performance of Smoothing Methods for Reconstructing NDVI Time-Series and Estimating Vegetation Phenology from MODIS Data." *Remote Sensing* 9(12): 1271.
- 5- Cao, Ruyin, Miaogen Shen, Ji Zhou, and Jin Chen. 2018. "Modeling Vegetation Green-up Dates across the Tibetan Plateau by Including Both Seasonal and Daily Temperature and Precipitation." *Agricultural and Forest Meteorology* 249: 176–86.5-
- 6- Cao, Ruyin, Yang Chen, et al. 2018. "A Simple Method to Improve the Quality of NDVI Time-Series Data by Integrating Spatiotemporal Information with the Savitzky-Golay Filter." *Remote Sensing of Environment* 217: 244–57.
- 7- Chen, Jin et al. 2004. "A Simple Method for Reconstructing a High-Quality NDVI Time-Series Data Set Based on the Savitzky–Golay Filter." *Remote sensing of Environment* 91(3–4): 332–44.
- 8- Coppin, Pol et al. 2004. "Review ArticleDigital Change Detection Methods in Ecosystem Monitoring: A Review." *International journal of remote sensing* 25(9): 1565–96.
- 9- Denny, Ellen et al. 2010. "A New Approach to Generating Research-Quality Phenology Data: The USA National Phenology Monitoring System." *Nature Precedings*: 1.
- 10- Eklundh, L, and P Jönsson. 2012. "TIMESAT 3.1 Software Manual." Lund University, Sweden: 1–82.
- 11- Geng, Liying et al. 2014. "Comparison of Eight Techniques for Reconstructing Multi-Satellite Sensor Time-Series NDVI Data Sets in the Heihe River Basin, China." *Remote Sensing* 6(3): 2024–49.
- 12- Hoersch, Bianca, Gerald Braun, and Uwe Schmidt.

of Northeast Asia.” International Journal of Remote Sensing 40(20): 7922–40.

23- Rousta, Iman et al. 2020. “Impacts of Drought on Vegetation Assessed by Vegetation Indices and Meteorological Factors in Afghanistan.” Remote Sensing 12(15): 2433.

24- Savitzky, Abraham, and Marcel J E Golay. 1964. “Smoothing and Differentiation of Data by Simplified Least Squares Procedures.” Analytical chemistry 36(8): 1627–39.

25- Testa, Stefano, Enrico C Borgogno Mondino, and Chiara Pedroli. 2014. “Correcting MODIS 16-Day Composite NDVI Time-Series with Actual Acquisition Dates.” European Journal of Remote Sensing 47(1): 285–305.

26- Vetterling, William T et al. 1992. Numerical Recipes: Example Book C. Cambridge University Press.

27- Wu, Yangxue et al. 2020. “Investigating the Impact of Climate Warming on Phenology of Aphid Pests in China Using Long-Term Historical Data.” Insects 11(3): 167.

28- Yang, Yanjun et al. 2021. “Detecting Recent Crop Phenology Dynamics in Corn and Soybean Cropping Systems of Kentucky.” Remote Sensing 13(9): 1615.

29- Zhang, Junxue et al. 2021. “Evaluating the Impacts of Models, Data Density and Irregularity on Reconstructing and Forecasting Dense Landsat Time Series.” Science of Remote Sensing: 100023.

30- Zhang, Xiaoyang et al. 2003. “Monitoring Vegetation Phenology Using MODIS.” Remote sensing of environment 84(3): 471–75.

31- Zhou, Xuancheng et al. 2020. “Legacy Effect of Spring Phenology on Vegetation Growth in Temperate China.” Agricultural and Forest Meteorology 281: 107845.